

روش دقیق تخمین محل خطا در خطوط انتقال چند بخشی هوایی- کابلی

مهدی قاضیزاده احسائی^۱

۱- استادیار- گروه برق- دانشکده فنی و مهندسی - دانشگاه زابل - زابل- ایران
gazizadeh@uoz.ac.ir

چکیده: در این مقاله، روشی جدید برای تعیین محل خطا در خطوط انتقال چند بخشی کابلی-هوایی ارائه شده است. این روش از نمونه‌های جمع‌آوری شده از دو پایانه خط به صورت همزمان در حوزه زمان بپرس می‌برد و به همین دلیل نیاز به فیلتر برای استخراج مولفه‌های اصلی ولتاژ و جریان ندارد که این موضوع باعث دقت بالاتر این روش بدليل عدم تاثیرپذیری از پاسخ فرکانسی فیلتر و مولفه DC میرا شونده شده است. از طرفی، این روش از مدل گستردۀ خط بپرس می‌برد و از $K+1$ مرحله برای تعیین محل خطا تشکیل شده است (K : تعداد بخش‌های خط انتقال) و بر خلاف روش‌های دیگر نیاز به شناساگر برای تعیین بخش خط‌دادیده از خط ندارد. دقت روش ارائه شده با آزمایش‌های گوناگون مورد بررسی قرار گرفته است که این آزمایش‌ها دقت بالای روش پیشنهادی را به ازای فاصله‌ها و انواع مختلف خط‌ها در زمان‌های شروع خطای گوناگون نشان می‌دهد.

کلمات کلیدی: خطوط انتقال چند بخشی کابلی-هوایی، تخمین محل خط، شناساگر تعیین بخش خط‌دادیده ، فیلتر، حفاظت خط انتقال، نمونه‌های همزمان.

تاریخ ارسال مقاله : ۱۳۹۲/۰۵/۱۳

تاریخ پذیرش مشروط مقاله: ۱۳۹۳/۰۴/۱۴

تاریخ پذیرش مقاله: ۱۳۹۳/۰۵/۲۲

نام نویسنده‌ی مسئول: مهدی قاضیزاده احسائی

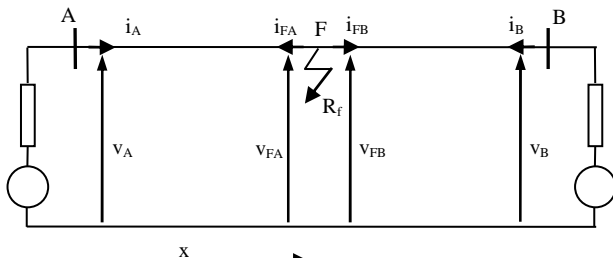
نشانی نویسنده‌ی مسئول: ایران - زابل - کیلومتر ۳ جاده بنجار - پردیس جدید دانشگاه زابل - دانشکده‌ی فنی و مهندسی - گروه
مهندسی برق

۱- مقدمه

امروزه در برخی مناطق مسکونی خصوصاً مناطق با تراکم جمعیتی به خطوط ترکیبی دو بخشی و چند بخشی برای انتقال انرژی الکتریکی نیاز است که این خطوط شامل قسمت‌های کابلی و هوایی هستند.

بحث حفاظت و جایابی خط‌ها در سیستم‌های قدرت از جمله مباحثی است که از دیرباز مورد توجه محققان بوده [۱۶]-[۱۱] و روش‌های گوناگونی برای مشخص نمودن محل خطاهای رخداده در خطوط مختلف (شامل خطوط معمولی و خطوط دو بخشی و چند بخشی هوایی-کابلی)، ارائه شده است [۱۶]-[۳]. اما، تعیین محل خطاهایی که در خطوط ترکیبی ایجاد می‌شود از اهمیت بالاتری نسبت به خطوط معمولی برخوردار است. زیرا این خطوط دارای بخش‌های کابلی دفن شده در زیرزمین نیز می‌باشند که در صورت وقوع خط‌ها در آن‌ها قابل رویت نیست. برای تعیین محل خط در خطوط ترکیبی دو بخشی هوایی-کابلی روش‌های متعددی ارائه شده [۱۴]-[۷]، اما برای خطوط چند بخشی روش‌های محدودی از جمله [۱۵] پیشنهاد شده است. در خطوط چند بخشی هوایی-کابلی، پارامترهای خط انتقال در هر بخش با بخش دیگر متفاوت است و به همین دلیل، جایابی خط‌ها در چنین خطوط ترکیبی نسبت به خطوط معمولی و خطوط دارای دو بخش، از پیچیدگی بیشتری برخوردار می‌باشد. روش ارائه شده در [۱۵] از مدل گسترده خط انتقال بهره برده است و از مولفه‌های اصلی ولتاژ و جریان دو طرف خط که به صورت همزمان جمع‌آوری شده استفاده نموده است. اما استخراج مولفه‌های اصلی ولتاژ و جریان توسط فیلتر باعث کاهش دقت این روش که ناشی از فیلتراسیون و عدم حذف مناسب مولفه DC میراشونده می‌باشد، خواهد شد. از طرفی روش پیشنهادی در [۱۵] برای شناسایی بخش کابلی یا هوایی که دچار خط‌شده، به یک شناساگر نیاز دارد که خط‌ای شناساگر باعث عدم عملکرد صحیح این روش می‌شود.

در این مقاله روش دقیق و جدیدی برای تعیین محل خط‌ها در خطوط انتقال چند بخشی کابلی-هوایی ارائه شده است که از نمونه‌های همزمان ولتاژ و جریان دو طرف خط بهره می‌برد و در نتیجه نیاز به فیلتر ندارد. لذا، خطاهای ناشی از فیلتراسیون بر این روش تاثیرگذار نیست و این یکی از مزایای روش پیشنهادی نسبت به روش‌های قبلی است. از طرف دیگر، این الگوریتم نیاز به شناساگر برای مشخص نمودن بخش خط‌ادیده از خط ندارد. در این روش، از مدل گسترده خط انتقال در حوزه زمان استفاده شده است و دقت روش ارائه شده با آزمایش‌های گوناگون در نرم‌افزار MATLAB/Simulink تایید شده است.



شکل (۱): مدل تک فاز از یک خط انتقال سه فاز با پارامترهای گسترده

۲- روش تعیین محل خط‌ها در خطوط چند بخشی

با توجه به اینکه در این مقاله، برای ارائه الگوریتم جایابی از برخی روابط موجود در مرجع [۱۶] استفاده شده، ابتدا اصول روش دو پایانه‌ای ارائه شده در این مرجع و روابط مورد نیاز در ادامه آورده شده است.

۲-۱- اصول الگوریتم دوپایانه‌ای جایابی خط‌ها در خطوط یک‌بخشی

شکل (۱) را در نظر بگیرید که مدل تک فاز از یک خط انتقال سه‌فاز با پارامترهای گسترده را نشان می‌دهد. در این شکل A و B به ترتیب مشخص کننده پایانه‌های ابتداء و انتهای خط می‌باشد و فرض می‌شود که در نقطه F خط‌ای رخداده که در فاصله x از ابتدای خط واقع شده است. در صورتی که نمونه‌های ثبت شده در ابتدای خط (باس A) و انتهای آن (باس B) توسط سیستم موقعیت‌یاب جهانی (GPS) (GPS) بر حسب ولتاژ و جریان ثبت شده در ابتدای خط در حوزه زمان (v_{FA}) بصورت زیر بدست می‌آید:

$$v_{FA}(t) = (Z + R \cdot x/4)^2 \cdot [v_A(t + \frac{x}{c}) - ((Z + R \cdot x/4) \cdot i_A(t + \frac{x}{c})] + (Z - R \cdot x/4)^2 \cdot [v_A(t - \frac{x}{c}) + (Z - R \cdot x/4) \cdot i_A(t - \frac{x}{c})] - \frac{(Z + R \cdot x/4) \cdot R}{4} \cdot [\frac{R/2}{(Z + R \cdot x/4)} \cdot v_A(t) + 2 \cdot (Z - R \cdot x/4) \cdot i_A(t)] / 2Z^2 \quad (1)$$

v_A, i_A : به ترتیب ولتاژ و جریان ابتدای خط،

v_{FA} : ولتاژ سمت چپ خط،

t : یک لحظه از بازه زمانی نمونه‌برداری حین خط،

R: مقاومت پریونیت خط از نقطه A تا F

انتقال هستند. خطایی با مقاومت R_F در نقطه F اتفاق افتاده است که به فاصله x کیلومتر از ابتدای خط (باس S) قرار دارد.

بدلیل این که قبل از تعیین محل خط، بخشی از خط که دچار خطا شده نامشخص است، روش ارائه شده از ۴ مرحله تشکیل شده است. در مرحله اول، دوم و سوم به ترتیب فرض می‌شود که خطا در بخش‌های ۱، ۲ و ۳ اتفاق افتاده است و در هر مرحله یک معادله بدست می‌آید. این معادلات که در مجموع سه معادله خواهد بود برای محاسبه محل خطا در مرحله ۴ مورد استفاده قرار می‌گیرد. این مراحل در ادامه آورده شده است.

۱-۲-۲- مرحله اول

شکل (۲) را در نظر بگیرید. فرض کنید خطای سه‌فاز متقارنی روی بخش ۱ اتفاق افتاده باشد. ولتاژ و جریان بس R برای جایاب خطا مشخص و معلوم است. لذا، ولتاژ و جریان نقطه اتصال J2 را می‌توان به صورت تابعی از ولتاژ و جریان بس R نوشت:

$$\begin{aligned} v_{J2R}(t) = & ((Z_{S3} + R_{S3} \cdot L_{S3}/4)^2 \cdot [v_R(t + \frac{L_{S3}}{c_{S3}}) \\ & - (Z_{S3} + R_{S3} \cdot L_{S3}/4) \cdot i_R(t + \frac{L_{S3}}{c_{S3}})] \\ & + (Z_{S3} - R_{S3} \cdot L_{S3}/4)^2 \cdot [v_R(t - \frac{L_{S3}}{c_{S3}}) \\ & + (Z_{S3} - R_{S3} \cdot L_{S3}/4) \cdot i_R(t - \frac{L_{S3}}{c_{S3}})] \\ & - \frac{(Z_{S3} + R_{S3} \cdot L_{S3}/4) \cdot R_{S3} \cdot L_{S3}}{4} \cdot [\frac{R_{S3} \cdot L_{S3}/2}{(Z_{S3} + R_{S3} \cdot L_{S3}/4)} \cdot v_R(t) \\ & + 2 \cdot (Z_{S3} - R_{S3} \cdot L_{S3}/4) \cdot i_R(t)]) / 2Z_{S3}^2 \end{aligned} \quad (5)$$

$$\begin{aligned} i_{J2R}(t) = & -((Z_{S3} + R_{S3} \cdot L_{S3}/4) \cdot [v_R(t + \frac{L_{S3}}{c_{S3}}) \\ & - (Z_{S3} + R_{S3} \cdot L_{S3}/4) \cdot i_R(t + \frac{L_{S3}}{c_{S3}})] \\ & + (Z_{S3} - R_{S3} \cdot L_{S3}/4) \cdot [v_R(t - \frac{L_{S3}}{c_{S3}}) \\ & + (Z_{S3} - R_{S3} \cdot L_{S3}/4) \cdot i_R(t - \frac{L_{S3}}{c_{S3}})] \\ & - \frac{(Z_{S3} + R_{S3} \cdot L_{S3}/4)}{4} \cdot [2 \cdot v_R(t) \\ & - \frac{(Z_{S3} + R_{S3} \cdot L_{S3}/4)}{2} \cdot i_R(t)]) / 2Z_{S3}^2 \end{aligned} \quad (6)$$

Z: امپدانس مشخصه خط انتقال،

c: سرعت انتشار موج در خط انتقال.

همچنین، ولتاژ سمت راست خط (v_{FB}) بصورت تابعی بر حسب ولتاژ و جریان ثبت شده در انتهای خط (باس B) در حوزه زمان به صورت زیر خواهد بود:

$$\begin{aligned} v_{FB}(t) = & (Z + R \cdot (L - x)/4)^2 \cdot [v_B(t + \frac{L - x}{c}) \\ & - ((Z + R \cdot (L - x)/4) \cdot i_B(t + \frac{L - x}{c})) \\ & + (Z - R \cdot (L - x)/4)^2 \cdot [v_B(t - \frac{L - x}{c}) \\ & + (Z - R \cdot (L - x)/4) \cdot i_B(t - \frac{L - x}{c})] \\ & - \frac{(Z + R \cdot (L - x)/4) \cdot R}{4} \cdot [\frac{R/2}{(Z + R \cdot (L - x)/4)} \cdot v_B(t) \\ & + 2 \cdot (Z - R \cdot (L - x)/4) \cdot i_B(t)] / 2Z^2 \end{aligned} \quad (2)$$

i_B : به ترتیب ولتاژ و جریان انتهای خط،

L: طول خط از بس A تا B.

با توجه به این نکته که پارگی و انفال در طول خط رخ نداده است، ولتاژ v_{FVA} و ولتاژ v_{FB} با یکدیگر برابرند و لذا تفاضل آنها برابر با صفر خواهد بود:

$$v_{FVA} - v_{FB} = 0 \quad (3)$$

با جایگذاری فرمول‌های (۱) و (۲) در رابطه (۳) معادله زیر بدست می‌آید:

$$g(v_A, i_A, v_B, i_B, t, x) = 0 \quad (4)$$

فاصله خط از ابتدای خط X تنها مجهول موجود در معادله (۴) می‌باشد و با حل این معادله X محاسبه می‌شود. برای توضیح روش ارائه شده در این مقاله، ابتدا این روش برای خطاهای متقارن سه‌فاز به زمین شرح داده می‌شود.

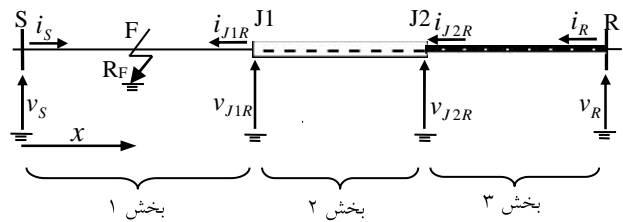
۲-۲- روش ارائه شده برای خطاهای سه‌فاز متقارن

در ادامه برای درک ساده‌تر الگوریتم ارائه شده، این روش برای یک خط انتقال سه بخشی کابلی-هوایی توضیح داده خواهد شد. ذکر این نکته دارای اهمیت است که این روش به سادگی قابلیت تعمیم به خطوط انتقال چند بخشی با تعداد بخش‌های کابلی-هوایی بیشتر را خواهد داشت.

شکل (۲) دیاگرام تک خطی از یک خط انتقال سه‌بخشی کابلی-هوایی را نشان می‌دهد. J1 و J2 نقاط اتصال هر یک از بخش‌های خط



معادله (۹) با فرض وقوع خطای سه‌فاز به زمین در بخش اول خط انتقال بدست آمد. لذا x بین بس S و نقطه J1 واقع شده است.

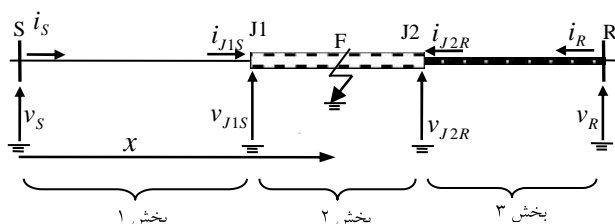


شکل (۲): مرحله دوم

در این مرحله، فرض می‌شود که خطا در بخش ۲ رخ داده است (شکل (۳)). ولتاژ و جریان بس S مشخص و در دسترس است. لذا، ولتاژ و جریان نقطه اتصال J1 را می‌توان بر حسب ولتاژ و جریان بس S به صورت زیر نوشت:

$$\begin{aligned} v_{J1S}(t) = & ((Z_{S1} + R_{S1}L_{S1}/4)^2 \cdot [v_S(t + \frac{L_{S1}}{c_{S1}}) \\ & - (Z_{S1} + R_{S1}L_{S1}/4)i_S(t + \frac{L_{S1}}{c_{S1}})] \\ & + (Z_{S1} - R_{S1}L_{S1}/4)^2 \cdot [v_S(t - \frac{L_{S1}}{c_{S1}}) \\ & + (Z_{S1} - R_{S1}L_{S1}/4)i_S(t - \frac{L_{S1}}{c_{S1}})] \\ & - \frac{(Z_{S1} + R_{S1}L_{S1}/4)R_{S1}L_{S1}}{4} \cdot \frac{R_{S1}L_{S1}/2}{(Z_{S1} + R_{S1}L_{S1}/4)} \cdot v_S(t) \\ & + 2 \cdot (Z_{S1} - R_{S1}L_{S1}/4)i_S(t)] / 2Z_{S1}^2 \end{aligned} \quad (10)$$

$$\begin{aligned} i_{J1S}(t) = & -((Z_{S1} + R_{S1}L_{S1}/4) \cdot [v_S(t + \frac{L_{S1}}{c_{S1}}) \\ & - (Z_{S1} + R_{S1}L_{S1}/4)i_S(t + \frac{L_{S1}}{c_{S1}})] \\ & + (Z_{S1} - R_{S1}L_{S1}/4)[v_S(t - \frac{L_{S1}}{c_{S1}}) \\ & + (Z_{S1} - R_{S1}L_{S1}/4)i_S(t - \frac{L_{S1}}{c_{S1}})] \\ & - \frac{(Z_{S1} + R_{S1}L_{S1}/4)}{4} \cdot [2v_S(t) \\ & - \frac{(Z_{S1} + R_{S1}L_{S1}/4)}{2} \cdot i_S(t)] / 2Z_{S1}^2 \end{aligned} \quad (11)$$



شکل (۳): خط انتقال ۳ بخشی، وقوع خطای در بخش ۲

شکل (۲): خط انتقال سه بخشی، وقوع خطای در بخش ۱

که در روابط اخیر:

v_R, i_R : به ترتیب ولتاژ و جریان بس R

v_{J2R} : ولتاژ نقطه اتصال J2

Z_{S3} : امپدانس مشخصه بخش ۳

R_{S3} : مقاومت خط مربوط به بخش ۳ بر حسب اهم بر کیلومتر،

L_{S3} : طول بخش ۳

c_{S3} : سرعت انتشار موج در بخش ۳

حال، ولتاژ و جریان نقطه اتصال J2 مشخص است. با جایگذاری پارامترهای $i_{J1R}, v_{J2R}, i_{J2R}, Z_{S2}, R_{S2}, L_{S2}, c_{S2}, v_{J1R}$ به ترتیب به جای پارامترهای $i_{J2R}, v_R, i_R, Z_{S3}, R_{S3}, L_{S3}, v_{J2R}$ در معادلات (۵) و (۶) ولتاژ و جریان نقطه اتصال J1 (i_{J1R} و v_{J1R}) به صورت توابعی از ولتاژ و جریان J2 (i_{J2R} و v_{J2R}) حاصل شود. که:

Z_{S2} : امپدانس مشخصه بخش ۲

R_{S2} : مقاومت بخش ۲ بر حسب اهم بر کیلومتر،

L_{S2} : طول بخش ۲

c_{S2} : سرعت انتشار موج در بخش ۲

حال، با جایگذاری (۵) و (۶) در توابع بدست آمده، ولتاژ و جریان J1 به صورت توابعی از ولتاژ و جریان بس R بدست می‌آید:

$$v_{J1R} = f_{J1R}^v(v_R, i_R, Z_{S2}, L_{S2}, R_{S2}, R_{S3}, c_{S2}, c_{S3}, t) \quad (7)$$

$$i_{J1R} = f_{J1R}^i(v_R, i_R, Z_{S2}, L_{S2}, R_{S2}, R_{S3}, c_{S2}, c_{S3}, t) \quad (8)$$

بخش اول خط انتقال را در نظر بگیرید. ولتاژ و جریان بس S مشخص و معلوم، و ولتاژ و جریان نقطه اتصال J1 با استفاده از روابط (۷) و (۸) تعیین می‌شود. لذا، ولتاژ و جریان هر دو سمت بخش ۱ معلوم است. بنابراین، روش دو پایانه‌ای را می‌توان مورد استفاده قرار داد. معادله (۹) تنها در محل خطای معتبر خواهد بود:

$$f_{S1}(v_S, i_S, v_R, i_R, Z_{S1}, Z_{S2}, L_{S1}, L_{S2}, L_{S3}, R_{S1}, R_{S2}, R_{S3}, c_{S1}, c_{S2}, c_{S3}, t, x) = 0 \quad (9)$$

$$f(v_s, i_s, v_r, i_r, Z_{s1}, Z_{s2}, Z_{s3}, L_{s1}, L_{s2}, L_{s3}, R_{s1}, R_{s2}, R_{s3}, c_{s1}, c_{s2}, c_{s3}, t, x) = \begin{cases} f_{s1} & 0 < x < L_{s1} \\ f_{s2} & L_{s1} < x < L_{s1} + L_{s2} \\ f_{s3} & L_{s1} + L_{s2} < x < L_{s1} + L_{s2} + L_{s3} \end{cases} \quad (14)$$

باید توجه داشت که تنها در یک نقطه از خط خطا رخ داده است. لذا، تنها یکی از ضابطه‌های تابع (۱۴) که متناظر با بخش خطا دیده از خط انتقال می‌باشد واقعاً برابر با صفر است و دیگر ضابطه‌ها برایر با صفر نخواهد بود. بنابراین، (۱۴) تنها در بخش واقعی خط و در محل خطا برابر با صفر خواهد بود:

$$f(v_s, i_s, v_r, i_r, Z_{s1}, Z_{s2}, Z_{s3}, L_{s1}, L_{s2}, L_{s3}, R_{s1}, R_{s2}, R_{s3}, c_{s1}, c_{s2}, c_{s3}, t, x) = 0 \quad (15)$$

رابطه (۱۵) به ازای تمامی نمونه‌های i_s, v_r, i_r, v_s که حین خط ثبت شده، برابر با صفر خواهد بود. لذا، معادله (۱۵) گستاخانه سازی شده و سپس بر اساس آن مساله بهینه‌سازی (۱۶) حاصل می‌شود:

$$\left\{ \begin{array}{l} \text{Min } J_f(x) = \\ \text{Min } \sum_{n=1}^N f^2(v_s, i_s, v_r, i_r, Z_{s1}, Z_{s2}, Z_{s3}, L_{s1}, L_{s2}, L_{s3}, R_{s1}, R_{s2}, R_{s3}, c_{s1}, c_{s2}, c_{s3}, n, x) \end{array} \right. \quad (16)$$

Such that: $0 < x < L$

در این رابطه:
 $n \cdot \Delta t = t$

n : یک عدد دلخواه،

Δt : پله نمونه برداری،

N : تعداد دسته نمونه‌های موجود در پنجره اطلاعاتی.

با حل مساله (۱۶)، با استفاده از روش‌های ارائه شده در مراجع مربوط، محل خط انتقال قرار دارد، بدلیل اینکه x در مساله فوق در محدوده طول خط انتقال قرار دارد، می‌توان از روش یکایک شماری [۱۷] برای این امر بهره برد.

نکته اینکه، روش پیشنهادی به سادگی برای انواع دیگر خطاهای قابل انجام می‌باشد. برای این منظور ابتدا از تبدیل فاز به مودال برای مشخص نمودن کمیت‌های مودال استفاده می‌شود [۱۸]. حال می‌توان معادلات (۵) تا (۱۶) را در حوزه مودال نوشت. توجه به این نکته با

همچنین، ولتاژ و جریان J2 را می‌توان توسط روابط (۵) و (۶) تعیین نمود. لذا، ولتاژ و جریان دو انتهای بخش ۲ تعیین گردید و با بکارگیری روش دو پایانه‌ای داریم:

$$f_{s2}(v_s, i_s, v_r, i_r, Z_{s1}, Z_{s2}, Z_{s3}, L_{s1}, L_{s2}, L_{s3}, R_{s1}, R_{s2}, R_{s3}, c_{s1}, c_{s2}, c_{s3}, t, x) = 0 \quad (12)$$

با فرض رخداد خط انتقال در بخش ۲، رابطه (۱۲) بدست آمد. لذا، x بین L_{s1} و $L_{s1} + L_{s2}$ محدود می‌گردد.

۳-۲-۲- مرحله سوم

در این مرحله، فرض کنید خط انتقال در بخش ۳ اتفاق افتاده است. ولتاژ و جریان J1 با بکارگیری روابط (۱۰) و (۱۱) بدست می‌آید. با جایگذاری $i_{j2s}, v_{j1s}, i_{j1s}, Z_{s2}, R_{s2}, L_{s2}, c_{s2} v_{j2s}$ جای $i_{j1s}, v_s, i_s, Z_{s1}, R_{s1}, L_{s1}, c_{s1} v_{j1s}$ در (۱۰) و (۱۱)، ولتاژ و جریان J2 به صورت توابعی از ولتاژ و جریان J1 (v_{j1s} و i_{j1s}) در توابع بدست حاصل می‌شود. حال با جایگذاری (۱۰) و (۱۱) در توابع بدست آمده، v_{j2s} و i_{j2s} به صورت توابعی از ولتاژ و جریان باس S بدست می‌آید. بخش ۳ را مورد توجه قرار دهید. ولتاژ و جریان هر دو انتهای آن معلوم است. بنابراین، با بهره‌گیری از روش دو پایانه‌ای می‌توان نوشت:

$$f_{s3}(v_s, i_s, v_r, i_r, Z_{s1}, Z_{s2}, Z_{s3}, L_{s1}, L_{s2}, L_{s3}, R_{s1}, R_{s2}, R_{s3}, c_{s1}, c_{s2}, c_{s3}, t, x) = 0 \quad (13)$$

رابطه (۱۳) با فرض ایجاد خط انتقال در بخش ۳ بدست آمد. لذا، x در محدوده $L_{s1} + L_{s2} < x < L_{s1} + L_{s2} + L_{s3}$ واقع شده است. معادلات (۹)، (۱۲) و (۱۳) در مرحله بعد برای بدست آوردن مکان خط بکار برده خواهد شد.

۴-۲-۲- مرحله چهارم

نکته‌ای که حائز اهمیت است این است که در روابط (۹)، (۱۲) و (۱۳) تنها یک متغیر مجھول x وجود دارد و دیگر پارامترها معلوم و مشخص‌اند. لذا، در صورت مشخص بودن بخش خطادیده با حل معادله متناظر با آن، مکان خط انتقال محاسبه می‌شود. اما، در واقعیت قبل از تعیین محل خط، بخش خطادیده مشخص نیست. بنابراین در این مرحله، ابتدا تابع سه ضابطه‌ای زیر براساس روابط (۹)، (۱۲) و (۱۳) که به ترتیب در مراحل ۱، ۲ و ۳ بدست آمد با توجه به فرضیات انجام شده در این مراحل، تعریف می‌شود:



شكل (۴)-(الف) و (ب) نمایش داده شده است. برای اجرای الگوریتم ارائه شده و با هدف حل مساله جایابی خط، مقدار تابع بهینه‌سازی در طول خط انتقال محاسبه و در شکل (۵) نمایش داده شده است. همانطور که در شکل می‌توان ملاحظه نمود منحنی تابع در فاصله‌های ۱۲۰ و ۱۴۰ کیلومتری (نقشه اتصالات بخش‌های مختلف خط انتقال) منفصل است و این بدلیل سه ضابطه‌ای بودن این تابع می‌باشد (همانند تابع سه ضابطه‌ای (۱۴) که برای خطاهای سه‌فاز به زمین بست آمد). مقدار کمینه تابع بهینه‌سازی در مکان ۱۲۵ کیلومتری رخ داده و لذا مقدار خطای جایابی صفر درصد محاسبه می‌شود.

در ادامه، تاثیر پارامترهای مختلف خط (فاصله خط، زاویه شروع خط و بخشی از خط که دچار خطا شده) بر روش پیشنهادی مورد آزمایش قرار گرفته است.

برای بررسی توانایی روش پیشنهادی، انواع مختلف خط (تک‌فاز به زمین، سه‌فاز، دو فاز و دو فاز به زمین) در مکان‌های مختلف خط و در بخش‌های ۱، ۲ و ۳ شبیه‌سازی شده، در حالی که زاویه شروع خط ۳۰° لحاظ شده است. برخی از نتایج حاصل از این آزمایش در جدول (۱) آورده شده است. همان طور که در جدول (۱) ملاحظه می‌شود حداقل قدر مطلق خطا کمتر از ۰/۰۷ درصد می‌باشد که اثبات کننده این موضوع است که روش پیشنهادی دارای دقت بالای می‌باشد.

تأثیر عملکرد روش پیشنهادی به ازای زوایای شروع خطای گوناگون نیز، با شبیه‌سازی‌های متعدد نشان داده شده است. جدول (۲) به ازای زوایای شروع خطای مختلف ۰°، ۴۵° و ۹۰° با مقاومت خطای Ω ۵ تهیه شده است. در این جدول حساسیت پایین روش پیشنهادی به زاویه شروع خط و دقت بالای آن با تغییر زاویه شروع خط را می‌توان مشاهده نمود.

برخی از روش‌های جایابی خط، برای خطاهای نزدیک به پایانه‌ها حساس بوده و به ازای این خطاهای نتایج نامناسبی را به دست می‌دهند. برای مطالعه اثر این قبیل خطاهای بر روشن ارائه شده، مکان‌هایی نزدیک به پایانه‌ها در نظر گرفته شده و انواع متنوع خط در آنها اعمال شده است. تعدادی از نتایج بدست آمده از اجرای روش جایابی به ازای این خطاهای در جدول (۳) نشان داده شده است. از این جدول می‌توان چنین نتیجه گرفت که روش پیشنهادی به ازای این قبیل خطاهای نیز همچنان دقت بالا و قابل قبولی را از خود نشان داده است.

اهمیت است که هر معادله نوشته شده در حوزه مودال، از هر جهت با معادله خط انتقال تک‌فاز (با حذف وابستگی بین فازها) مشابه می‌باشد. بنابراین، به ازای هر مود یک تابع بهینه‌سازی مشابه با (۱۶) بدست می‌آید. با توجه به نوع خط می‌توان متناظر را انتخاب و برای تعیین مکان خطابکار برد. با توجه به این حقیقت که مود یک در تمامی خطاهای موجود است می‌توان از تابع متناظر با مود یک برای همه خطاهای بهره برد.

توجه به این موضوع ضروری به نظر می‌رسد که روش پیشنهادی قابلیت توسعه برای خطوط با تعداد K بخش را دارد می‌باشد. به اینصورت که این روش از $K+1$ مرحله تشکیل می‌شود. در آمین مرحله ($i \leq K$) فرض می‌شود که خط در بخش i از خط انتقال رخ داده و یک معادله همانند معادلات (۹)، (۱۲) و (۱۳) بدست می‌آید. لذا، K معادله متناظر با K مرحله (یا متناظر با K بخش خط انتقال) حاصل می‌شود. در مرحله $K+1$ یک تابع K ضابطه‌ای مشابه (۱۴) تعریف می‌شود که تنها در بخش حقیقی خط و در مکان واقعی خطاب برای صفر خواهد بود. بنابراین، یک مساله بهینه‌سازی همانند (۱۶) بدست می‌آید که با حل آن مکان خط محاسبه می‌گردد.

۳- ارزیابی روش ارائه شده

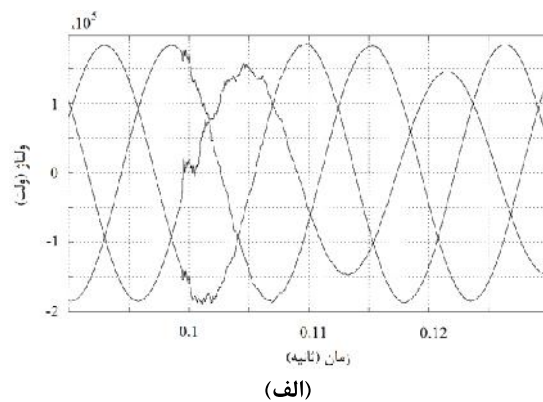
برای بررسی عملکرد روش پیشنهادی، شبیه‌سازی‌های گوناگونی انجام شده است. برای این کار یک سیستم قدرت سه‌فاز، سه بخشی و ۲۲۰ کیلوولتی در MATLAB/Simulink شبیه‌سازی شده است (دیاگرام تک خطی این سیستم در شکل (۲) نشان داده شده است). طول بخش‌های ۱، ۲ و ۳ به ترتیب عبارتند از ۱۲۰، ۲۰ و ۱۵ کیلومتر. پارامترهای سیستم و خط انتقال در بخش ضمایم آورده شده است. برای ارزیابی دقت روش پیشنهادی، خطای تعیین مکان خط به صورت ذیل محاسبه می‌شود:

$$\text{طول خط} / (\text{مکان واقعی خط} - \text{مکان محاسبه شده}) = \text{درصد خط} \quad (17)$$

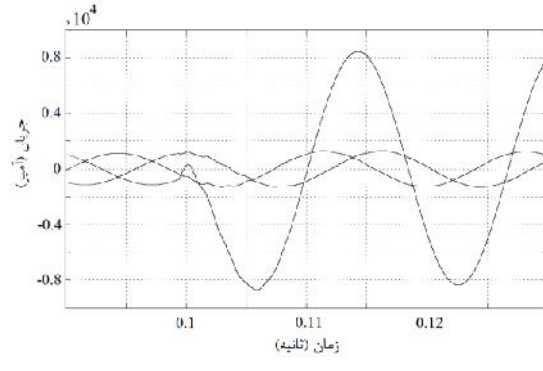
برای مثال فرض کنید که خطای تک‌فاز به زمین در بخش ۲ خط انتقال در فاصله ۱۲۵ کیلومتری از ابتدای خط با مقاومت خطای Ω_{10} اتفاق افتاده است. حدود دو سیکل از شکل موج ولتاژ و جریان سه‌فاز ثبت شده توسط ثبت کننده‌های نصب شده در بسیار R به ترتیب در

جدول (۱): نتایج حاصل از جایابی خط با رخداد انواع مختلف خط
در مکان‌های متعدد خط انتقال

$R_f = 100\Omega$	$R_f = 10\Omega$	$R_f = 1\Omega$	مکان واقعی خط (کیلومتر)	نوع خط
خطای جایابی به درصد				
0.0406	0.0523	-0.0481	30	بخش ۱
0.0533	0.0171	-0.0519	50	
-0.0286	0.0060	0.0590	100	
0.0600	-0.0442	0.0607	130	بخش ۲
0.0590	-0.0019	0.0387	150	
-0.0462	-0.0101	0.0536	30	
0.0377	0.0593	0.0201	50	بخش ۱
-0.0599	0.0450	0.0560	100	
0.0231	0.0332	0.0314	130	
-0.0139	0.0201	-0.0424	150	بخش ۳
0.0266	-0.0604	-0.0288	30	
-0.0585	-0.0520	0.0417	50	
0.0251	-0.0236	0.0581	100	
-0.0601	-0.0079	-0.0153	130	بخش ۲
0.0343	0.0381	-0.0404	150	
-0.0013	-0.0070	0.0189	30	
0.0270	0.0329	-0.0289	50	بخش ۱
0.0232	0.0200	-0.0435	100	
-0.0491	-0.0002	0.0593	130	
-0.0206	0.0110	-0.0356	150	بخش ۳
0.0324	-0.0316	0.0008	30	
0.0257	0.0504	0.0592	50	
0.0061	-0.0466	-0.0452	100	
-0.0313	0.0440	-0.0317	130	بخش ۲
0.0405	-0.0331	0.0554	150	
-0.0194	-0.0391	-0.0321	30	
0.0150	-0.0034	-0.0191	50	بخش ۱
0.0427	0.0110	0.0064	100	
0.0538	-0.0276	0.0332	130	
0.0327	-0.0154	0.0087	150	بخش ۳
-0.0547	-0.0575	0.0040	30	
0.0360	0.0560	-0.0477	50	
0.0089	-0.0039	-0.0630	100	
-0.0210	-0.0436	0.0380	130	بخش ۲
-0.0244	0.0037	-0.0431	150	
0.0132	-0.0306	0.0199	30	
0.0244	0.0320	-0.0064	50	بخش ۱
-0.0537	-0.0350	0.0533	100	
-0.0448	0.0420	0.0049	130	
0.0640	-0.0544	-0.0074	150	بخش ۳
-0.0507	0.0596	-0.0639	30	
0.0355	0.0409	0.0476	50	بخش ۱
-0.0536	-0.0129	-0.0310	100	
0.0387	-0.0088	0.0530	130	بخش ۲
-0.0410	-0.0305	-0.0457	150	
-0.0469	0.0476	0.0103	30	بخش ۱
0.0064	-0.0458	0.0455	50	
0.0157	-0.0192	0.0017	100	
-0.0127	-0.0547	-0.0336	130	بخش ۲
-0.0486	-0.0408	-0.0335	150	
0.0132	-0.0306	0.0199	30	بخش ۳

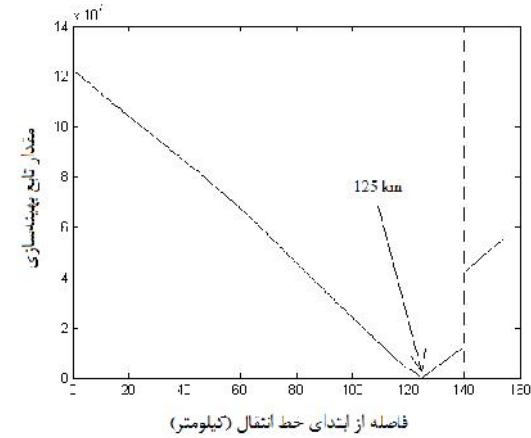


(الف)



(ب)

شکل (۴): (الف) ولتاژ و (ب) جریان سه‌فاز ثبت شده در باس
انتهایی خط



شکل (۵): مقدار تابع بهینه‌سازی در طول خط انتقال

برای بررسی دقت روش ارائه شده با تغییر اختلاف زاویه ولتاژ دو طرف خط (زاویه توان)، زاویه فاز بین منابع ولتاژ دو طرف خط تغییر داده شده است و به ازای هر زاویه فاز، شبیه‌سازی‌های مختلفی انجام شده است. به عنوان نمونه، اختلاف زاویه فاز ولتاژ‌ها دو طرف خط (PhAng) ۱۰، ۳۰ و ۴۰ درجه در نظر گرفته شده و انواع خط‌ها با مقاومت ۱۰ اهم و زاویه شروع خط‌ای ۹۰ درجه اعمال شده است. روش ارائه شده با بکارگیری اطلاعات جمع‌آوری شده از شبیه‌سازی‌ها اجرا شده و نتایج حاصل برای خط‌ای تک‌فاز به زمین در جدول (۴)

جدول (۳): نتایج حاصل از جایابی خطوط با رخداد انواع مختلف خط
در نزدیکی پایانه‌های خط انتقال

$R_f = 100\Omega$	$R_f = 10\Omega$	$R_f = 1\Omega$	مکان واقعی خط (کیلومتر)	نوع خط
خطای جایابی به درصد				
0.0505	0.0285	-0.0163	4	A-G
-0.0650	0.0439	0.0214	117	
-0.0294	0.0391	-0.0406	152	
-0.0637	-0.0456	-0.0530	4	A-B-C-G
0.0183	0.0241	-0.0350	117	
0.0222	0.0562	-0.0512	152	
0.0058	-0.0016	-0.0488	4	A-B-G
-0.0669	0.07	-0.0024	117	
-0.0337	0.0194	-0.0047	152	
-0.0401	0.0427	0.0331	4	A-B
-0.0270	-0.0523	0.0122	117	
0.0002	0.0615	-0.0236	152	
خطای جایابی به درصد				
0.0524	0.0490	-0.0316	40	A-G
0.0410	-0.0309	0.0122	132	
-0.0616	-0.0096	-0.0242	145	
-0.0437	-0.0414	-0.0099	40	B-G
-0.0523	0.0127	-0.0038	132	
0.0253	0.0258	0.0179	145	
-0.0602	-0.0556	-0.0233	40	C-G
0.0040	0.0199	-0.0119	132	
0.0413	0.0282	0.0605	145	
0.0040	-0.0226	-0.0509	40	A-B-C-G
0.0143	0.0360	-0.0099	132	
-0.0528	-0.0301	-0.0447	145	
-0.0283	-0.0077	0.0035	40	A-B-G
-0.0055	0.0484	0.0023	132	
0.0572	0.0178	0.0590	145	
-0.0334	0.0227	-0.0272	40	A-C-G
0.0222	0.0252	-0.0557	132	
-0.0356	0.0217	0.0444	145	
-0.0201	0.0362	0.0226	40	B-C-G
-0.0636	0.0132	-0.0146	132	
0.0537	-0.0644	-0.0048	145	
-0.0098	-0.0050	0.0349	40	A-B
-0.0229	0.0367	-0.0037	132	
-0.0599	-0.0418	0.0286	145	
-0.0034	-0.0448	-0.0205	40	A-C
0.0139	-0.0398	0.0308	132	
-0.0332	0.0538	-0.0298	145	
0.0342	-0.0402	-0.0274	40	B-C
-0.0527	0.0098	0.0237	132	
0.0060	-0.0096	0.0186	145	

جدول (۴): نتایج حاصل از جایابی خطوط با زوایای شروع مختلف

زاویه شروع خطا 90°	زاویه شروع خطا 45°	زاویه شروع خطا 0°	مکان واقعی خط (کیلومتر)	نوع خط
خطای جایابی به درصد				
0.0524	0.0490	-0.0316	40	A-G
0.0410	-0.0309	0.0122	132	
-0.0616	-0.0096	-0.0242	145	
-0.0437	-0.0414	-0.0099	40	B-G
-0.0523	0.0127	-0.0038	132	
0.0253	0.0258	0.0179	145	
-0.0602	-0.0556	-0.0233	40	C-G
0.0040	0.0199	-0.0119	132	
0.0413	0.0282	0.0605	145	
0.0040	-0.0226	-0.0509	40	A-B-C-G
0.0143	0.0360	-0.0099	132	
-0.0528	-0.0301	-0.0447	145	
-0.0283	-0.0077	0.0035	40	A-B-G
-0.0055	0.0484	0.0023	132	
0.0572	0.0178	0.0590	145	
-0.0334	0.0227	-0.0272	40	A-C-G
0.0222	0.0252	-0.0557	132	
-0.0356	0.0217	0.0444	145	
-0.0201	0.0362	0.0226	40	B-C-G
-0.0636	0.0132	-0.0146	132	
0.0537	-0.0644	-0.0048	145	
-0.0098	-0.0050	0.0349	40	A-B
-0.0229	0.0367	-0.0037	132	
-0.0599	-0.0418	0.0286	145	
-0.0034	-0.0448	-0.0205	40	A-C
0.0139	-0.0398	0.0308	132	
-0.0332	0.0538	-0.0298	145	
0.0342	-0.0402	-0.0274	40	B-C
-0.0527	0.0098	0.0237	132	
0.0060	-0.0096	0.0186	145	

۴- نتیجه‌گیری

در این مقاله برای تعیین محل خطوط انتقال چند بخشی کابلی-هوازی روش جدیدی ارائه شده است. این روش از مدل گسترده خط در حوزه زمان بهره می‌گیرد و از $K+1$ مرحله برای تعیین محل خط تشكیل شده است و به شناساگر نیاز ندارد. این روش مستقیماً از نمونه‌های ارسال شده از دو طرف خط به صورت همزمان در حوزه زمان استفاده می‌نماید و عدم نیاز به فیلتر باعث دقت بالاتر این روش نسبت به روش‌های مشابه شده است. بررسی دقت روش پیشنهادی با آزمایش‌های گوناگون صورت گرفته است که این آزمایش‌ها دقت بالای روش پیشنهادی را تحت فاصله‌ها و انواع مختلف خطوط در زمان‌های شروع خطای گوناگون نشان می‌دهد طوری که حداقل قدر مطلق خط از 0° درصد تجاوز نکرده است.

پیوست:

مشخصات سیستم:
ولتاژ نامی سیستم: ۵۰۰ کیلوولت
فرکانس نامی سیستم: ۶۰ هرتز

آورده شده است. با توجه به نتایج موجود در این جدول می‌توان چنین نتیجه گرفت که دقت روش پیشنهادی با تعیین اختلاف زوایه فاز ولتاژ‌های دو طرف خط تغییرات بسیار کمی را دارد. حساسیت روش پیشنهادی به پارامترهای خط نیز مورد بررسی قرار گرفته و خطی سه‌بخشی و با پارامترهای متفاوت از آنچه که در ضمیمه آمده شبیه‌سازی و به ازای خطوط مختلف در نقاط متفاوت خط مورد مطالعه قرار گرفت. نتایج حاصل حاکی از آن است که این روش به پارامترهای خط وابستگی چندانی ندارد و همچنان دقت بالایی از خود نشان داده است.

Electrical Engineering, Vol. 28, no. 9, pp. 1132-1135, 2011.

- [9] M. Gilany, E. S. T. Eldin, M. M. A. Aziz, and D. K. Ibrahim, "An accurate scheme for fault location in combined overhead line with underground power cable", in Proc. IEEE Power Eng. Soc. Gen. Meet., San Francisco, CA, Jun. 2005, Vol. 3, pp. 2521-2527.
- [10] J. Sadeh and H. Afradi, "A new and accurate fault location algorithm for combined transmission lines using adaptive network-based fuzzy inference system", Electric Power Systems Research, Vol. 79, no. 11, pp. 1538-1545, Nov. 2009.
- [11] Y. Yuze, Q. Jian, Li Gongxin, et. al., "A survey on fault location methods for hybrid transmission lines consisting of power cables and overhead lines," Power System Technology, Vol. 30, no. 17, pp. 64-69, 2006.
- [12] C. K. Jung, K.H. Kim, J. B. Lee, B. Klocklb, "Wavelet and neuro-fuzzy based fault location for combined transmission systems", International Journal of Electrical Power and Energy Systems, Vol. 29, pp. 445-54, 2007.
- [13] I. Niazy, and J. Sadeh, "A new single ended fault location algorithm for combined transmission line considering fault clearing transients without using line parameters", International Journal of Electrical Power and Energy Systems, Vol. 44, pp. 816-823, 2013.
- [14] X. Yang, M. S. Choi, S. J. Lee, C. W. Ten, and S. I. Lim, "Fault location for underground power cable using distributed parameter approach", IEEE Trans. Power Syst., Vol. 23, no. 4, pp. 1809-1816, Nov. 2008.
- [15] C.-W. Liu, T.-C. Lin, C.-S. Yu, and J.-Z. Yang, "A fault location technique for two-terminal multisection compound transmission lines using synchronized phasor measurements", IEEE Trans. Smart Grid, Vol. 3, no. 1, pp. 113-121, Mar. 2012.
- [16] M. Ghazizadeh-Ahsaee, "Accurate NHIF locator utilizing two-end unsynchronized measurements", IEEE Trans. Power Del., Vol. 28, no. 1, pp. 419-426, Jan. 2013.
- [17] R. E. Miller, Optimization: Foundations and applications, Wiley Press, New York, NY, 2000.
- [18] J. Sadeh, N. Hadjsaid, A. M. Ranjbar, and R. Feuillet, "Accurate fault location algorithm for series compensated transmission lines", IEEE Trans. Power Del., Vol. 15, no. 3, pp. 1027-1033, Jul. 2000.

زاویه فاز بین منابع ولتاژ: ۲۰ درجه

مشخصات خط انتقال:

بخش ۱:

توالی صفر:

$$R_0=0.275(\Omega/\text{km}), L_0=3.4505998(\text{mH}/\text{km}), C_0=8.5(\text{nF}/\text{km})$$

توالی مثبت و منفی:

$$R_1=0.0275(\Omega/\text{km}), L_1=1.002768(\text{mH}/\text{km}), C_1=13(\text{nF}/\text{km})$$

بخش ۲:

توالی صفر:

$$R_0=0.412(\Omega/\text{km}), L_0=1.5338(\text{mH}/\text{km}), C_0=152.9(\text{nF}/\text{km})$$

توالی مثبت و منفی:

$$R_1=0.024(\Omega/\text{km}), L_1=0.4278(\text{mH}/\text{km}), C_1=281.1(\text{nF}/\text{km})$$

بخش ۳:

توالی صفر:

$$R_0=0.059(\Omega/\text{km}), L_0=0.408(\text{mH}/\text{km}), C_0=456.9(\text{nF}/\text{km})$$

توالی مثبت و منفی:

$$R_1=0.016(\Omega/\text{km}), L_1=0.268(\text{mH}/\text{km}), C_1=456.9(\text{nF}/\text{km})$$

مراجع

- [۱] حسین عسکریان ابیانه، هدا شریفیان، رضا محمدی چبلو، فرزاد رضوی, "روشی نو در بدست آوردن کمترین نقاط شکست به کمک الگوریتم ژنتیک", مجله انجمن مهندسی برق و الکترونیک ایران, سال هشتم, شماره دوم, پائیز و زمستان ۱۳۹۰.
- [۲] محسن حمزه، شاهرخ فرهنگی، مجید صنایع پسند, "روشی جدید در تحلیل عملکرد حفاظت‌های ضدجزیره‌ای فرکانسی در حالت جزیره‌ای چند اینورتری", مجله انجمن مهندسی برق و الکترونیک ایران, سال نهم, شماره دوم, صص ۱۱-۱۸، پائیز و زمستان ۱۳۹۱.
- [3] T. Takagi, Y. Yamakoshi, J. Baba, K. Uemura, T. Sakaguchi, "A new algorithm of an accurate fault location for EHV/UHV transmission lines", IEEE Trans. Power Apparatus and Systems, Vol. PAS-100, No.3, pp. 1316-1323, Mar. 1981.
- [4] M. S. Sachdev, R. Agarwal, "A technique for estimating transmission line fault locations from digital impedance relay measurements", IEEE Trans. Power Del., Vol. 3, No.1, pp. 121-129, Jan. 1988.
- [5] J. Izykowski, E. Rosolowski, P. Balcerak, M. Fulczyk, and M. M. Saha, "Accurate noniterative fault location algorithm utilizing two-end unsynchronized measurements", IEEE Trans. Power Del., Vol. 25, no. 1, pp. 72-80, Jan. 2010.
- [6] B. Alen, and L. Zbigniew, "Fault location in power networks with mixed feeders using the complex space-phasor and Hilbert-Huang transform", International Journal of Electrical Power and Energy Systems, Vol. 48, pp. 208-19, 2012.
- [7] E. S. T. Eldin, M. M. A. Aziz, D. K. Ibrahim, and M. Gilany, "Fault location scheme for combined overhead line with underground power cable", Elect. Power Syst. Res., Vol. 76, pp. 928-935, 2006.
- [8] Ch. Mingjun, Ch. Yiping, L. Xinkai, "Improved algorithm of fault location on overhead power line and high voltage cable hybrid line, " Journal of Mechanical &